

2000年10月27000

(4000円) 特許 第 11017 (昭55) 号

昭和55年9月16日

1. 発明の名称
内燃機関用電気火花点火装置

2. 特許請求の範囲に記載された発明の略

3. 発明者

大阪府大阪市東淀川区三丁目5番地55

矢野 博 二
(姓か1名)

4. 特許出願人

大阪府大阪市東淀川区三丁目5番地4号

株式会社 矢野工業

代表者 矢野 博 二

5. 代理人

東京都港区神田区三丁目16番4号

小林特許事務所 電話(03)4729-6729

(1121) 代理人 小林 将 高

6. 添付書類の目録

- | | |
|-------------|-----|
| (1) 明細書 | 1 通 |
| (2) 図面 | 1 通 |
| (3) 願書副本 | 1 通 |
| (4) 委任状 | 1 通 |
| (5) 出願審査請求書 | 1 通 |

方式

55 110373

明 細 書

1. 発明の名称

内燃機関用電気火花点火装置

2. 特許請求の範囲

(1) 高圧電極と接地電極をもつ電気火花点火装置において、前記高圧電極および接地電極を共にそれぞれの電極支持部材から突起させ、かつ前記高圧電極および接地電極を共に細電極としたことを特徴とする内燃機関用電気火花点火装置。

(2) 高圧電極、トリガ電極および接地電極をもつ電気火花点火装置において、高圧電極、トリガ電極および接地電極をすべてそれぞれの電極支持部材から突起させ、かつ前記高圧電極、トリガ電極および接地電極をすべて細電極としたことを特徴とする内燃機関用電気火花点火装置。

3. 発明の詳細な説明

この発明は、電気火花点火装置を改良して電気火花放電による可燃性混合気の点火条件を拡大することを目的とした内燃機関用電気火花点火装置に関するものである。

⑬ 日本国特許庁

公開特許公報

⑪特開昭 52-36237

⑫公開日 昭52.(1977) 3.19

⑬特願昭 50-110873

⑭出願日 昭50.(1975) 9.16

審査請求 有 (全14頁)

庁内整理番号

7033 51

⑮日本分類

51 9301

⑯Int.Cl.

H01T 13/20

H01T 13/32

J1017 U.S. PTO

10/073255



02/13/02

Best Available Copy

の混合気を使用すれば不完全燃焼生成物である炭化水素 (HO) と CO の発生を抑制できる。また、ローリニエンレンのように燃焼室の冷却効率が低い場合か、あるいは空燃比よりもさらに低い混合気を使う場合に、燃焼温度が約 1200°C 以下となると NO_x の発生も抑制される。空燃比はガソリン・空気混合気で約 14.8 、イソブタン・空気混合気で 18.4 である。

オ 1 図 (a)、(b) は従来の燃焼器点火体の一例を示す要部の縦断面図および底面図である。

接地電極 1 は幅 2.7 mm 、長さ約 5 mm 、厚さ 1.3 mm の耐熱性ニッケル合金からなる平板で、高圧電極 2 は直径 1 mm の貴金属合金からなる円柱であり、これら接地電極 1 と高圧電極 2 は電極間隙 h をへだてて対向している。

オ 2 図 (a) ~ (c) は他の従来例を示すもので、高圧電極 2 はオ 1 図に示したものと同じく直径 1 mm の貴金属合金からなる円柱であるが、接地電極 1 はオ 1 図と同様の平板にオ 2 図 (a)、(c) に示すように、幅 1 mm 程度、長さ 0.5 mm 程度のアーバ

けじ形状の接地電極 1 の長さ方向に形成したものである。

上記のような従来の燃焼器点火体を用いた通常のガソリンエンジンには空燃比 $10 \sim 15$ の燃料過剰の混合気が使われているので、炭化水素、 CO および NO_x が排気中に含まれている。これを改良するため点火体付近のみ過剰混合気を形成せしめて点火し、全体としては過剰な混合気を燃焼させるための内燃機構が種々開発されつつある。このような混合気空燃比の空間 (場所) 的分布を形成する方法の他に、空燃比の時間的分布を改善した内燃機構もある。すなわち、液体燃料を使用するとき完全に気化していないので、放電点火時の実効空燃比が大きく点火し難い。気化割合を改良して液体燃料の気化率を高めるならば放電点火時の実効空燃比を小さくし点火し易くすることができる。このような複雑な内燃機構は、コスト上昇を招くのみならず、最適動作条件の調整が困難であり、また、最適状態の安定性に欠け、量産製造技術も極めて困難にならざるを得ない。

この発明は上述の点にかんがみ込まれたもので、点火体自体を改良するだけで、点火燃焼空燃比範囲を拡大し点火燃焼電極間隙を短縮せんとするものであり、これによって内燃機構の排ガス特性の改善を容易にせんとするものである。以下図面を用いてこの発明を詳細に説明する。

オ 3 図 ~ オ 8 図はそれぞれこの発明の 2 電極点火体の一実施例を示すもので、オ 3 図 (a) は 2 電極点火体全体の縦断面図、オ 3 図 (b) はオ 3 図 (a) の要部断面図、オ 3 図 (c) は同じく底面図を示し、オ 4 図 (a)、(b) ~ オ 8 図 (a)、(b) の各実施例において、オ 3 図 (a) ~ (c) の要部断面図と、オ 4 図 (a)、(b) の各実施例の要部断面図とをそれぞれ拡大して示したものである。これらの図において、21 は突起した接地電極、22 は高圧電極、23 は耐熱性ニッケル合金などからなる導電性の電極支持部材、24 は電気絶縁性高アルナ質絶縁体からなる絶縁性の電極支持部材、25 は外筒、26 は中筒、27 は高圧電極端子、28 はガスカート、29 は前記外筒 25 に形成されたねじであ

り、200 は 2 電極点火体全体を示し、L は電極間隙、 h_1 は前記接地電極 21 の突起高、 h_2 は前記高圧電極 22 の突起高である。

接地電極 21 は高圧電極 22 と電極間隙 h をへだてて対向している。接地電極 21 および高圧電極 22 はいずれも耐熱耐蝕性にすぐれた貴金属系合金、例えば Pt 、 Pd 、 Au など、またはこれらの合金もしくはニッケル合金などからなる直径 1.7 mm 以下、好ましくは直径 1 mm 前後の細電極とする。

接地電極 21 は、例えば厚さ 1.3 mm 、幅 2.7 mm 、長さ約 5 mm の耐熱性ニッケル合金などからなる電極 21 は前記 21 の突起高 h_1 に突起をへだてて電極 22 と対向し、圧入もしくは押し込んでからかしめる等種々の方法で、前記電極支持部材 23 に固定する。また、前記突起高 h_1 は約 0.25 mm 以上にすると良好な結果が得られる。接地電極 21 は電極支持部材 23 を介して外筒 25 に接続されており、外筒 25 は接地電極端子を兼ねる。電極支持部材 23 はオ 4 図 (b) によく示すように先端の幅を狭くするとさらに良い結果が得られる。また、オ 5 図 (a)、(b)、オ

6図(a)、(b)にそれぞれ示すように接地電極21と電極支持部材23とは同一物で一体に構成してもよい。すなわち、電極支持部材23としてのたえは直径1.5mmの貴金属系合金もしくは耐熱ニッケル合金からなる部をオ5図(a)のように先端を折り曲げて接地電極21としてもよい。さらに、あらかじめ先端をたえは長さ0.25mm以上にわたって直径1mmの内径に切削加工した電極支持部材23としてのたえは直径2mmの貴金属系合金からなる部をオ6図(a)のように折り曲げて固くした先端部を接地電極21として用いることもできる。オ6図(a)、(b)の実施例では電極支持部材23の部の太さを変えることにより、熱伝の適度も容易に行える。

高圧電極22は、たとえば電気絶縁性高アルミナ質固相からなる電極支持部材24の先端より突起高さ h_1 だけ突起させて固定され、耐熱ニッケル合金などからなる中軸28を介して高圧電極端子27に接続されている。突起突起高さ h_1 は0.25mm以上にすると良好な結果が得られる。

中間域にあり接地電極31から電極間隔 L_{12} に位置する。トリガ電極33は耐熱耐酸化にすぐれた貴金属系合金、もしくはニッケル合金などからなる直径1.7mm以下、好ましくは直径1mm以下の細電極とする。

トリガ放電の電力は小さく、消耗は少ないからトリガ電極33は先端をとがらすこともできる。トリガ電極33はたとえば直径2mmの耐熱性ニッケル合金などからなる電極支持部材34に突起高さ h_2 だけ突起させて固定するが、突起高さ h_2 は0.25mm以上にすると良い結果が得られる。トリガ電極33は電極支持部材38を介してトリガ電極端子40に接続されている。この3電極点火栓300の使用にあたってはトリガ電極端子40は底沈みあるいはコンパシヤを介して高圧電極端子38あるいは接地電極端子に相当する外周37に接続するならば、トリガ放電用の特別な電線を引くまでも2電極点火栓用の点火電線で駆動することもできる。

次にこの発明による点火栓の空気・燃料混合気に対する点火特性を説明する。上述したようにこの

オ7図(a)、(b)は接地電極21と高圧電極22とを逆向きに片側させた例を示し、また、オ8図(a)、(b)は同じく逆向きに片側させた接地電極21と高圧電極22とを耐久性向上のための2組設けた例を示す。同様にして接地電極21と高圧電極22と3組以上あってもよいことは言うまでもない。

オ9図(a)、(b)はこの発明の3電極点火栓の一実施例を示すもので、31は突起した接地電極、32は高圧電極、33はトリガ電極、34、35、38はそれぞれ接地電極、高圧電極、トリガ電極の電極支持部材、37は外周、39は中軸、39は高圧電極端子、40はトリガ電極端子、41はガスカート、42はねじ、300は3電極点火栓全体を示す。このうち接地電極31と高圧電極32とは主電極間隔 L_{12} をへだてて片側している。図記接地電極31と高圧電極32はそれぞれの電極支持部材34、35から h_1 および h_2 の突起高さである0.25mm以上突起させて固定されている直径1.7mm以下の細電極で、これまでに述べた2電極点火栓の場合と同様の方法で構成できる。トリガ電極33は接地電極31と高圧電極32との

の発明の特徴は電極部の構造にあるから、主として2電極点火栓に関して詳しく述べる。オ3図における高圧電極22および接地電極21の両方を細電極とし、かつそれぞれの電極支持部材23、24から突起させると点火条件が改善され、十分に薄い混合気に点火できる事実を明確かつ詳細に説明するために、放電限界間隔が大きくとれる1気圧混合気についての実験例をオ10図、オ11図、およびオ12図に示す。この実験例では点火限界空燃比を定量的に正確に求めるために、液体燃料を蒸けイソブタンガスを使用した。

オ10図は点火限界空燃比領域の電極間隔依存性を示す。横軸は電極間隔 L 、左縦軸はイソブタン空燃比、右縦軸はガソリン換算空燃比を表わす。曲線Uはこの発明によるオ3図(a)~(c)に示した2電極点火栓200に、高出力型のイグニッションコイル(一次定格12V、4.1A、蓄積エネルギー72mJ)をセミトランジスタ開閉器で作動させて発生した35KVの実電圧を印加した場合の点火限界空燃比曲線であり、曲線Uより下の領域が点

へつていふことを示す。この場合、2電極点火
材200の接地電極21および高圧電極22にそれぞれ
直径1mmの白金円柱を用い、それぞれの電極支持部
材23、24からの突起高は $h_1 = h_2 = 1$ mmとした。
接地電極21の電極支持部材23には厚さ1.3mm、幅
2.7mm、長さ約5mmの耐熱ニッケル合金を用いた。
また、曲線Vは接地電極21および高圧電極22に共
に直径2.55mmの耐熱ニッケルを用い、それぞれの
電極支持部材23、24からの突起高は $h_1 = h_2 =$
5mmとした点火性の上記と同一条件の放電点火電
圧を印加した場合である。また、曲線Wはオ1図
(a)、(b)に示した従来の燃電極点火性の上記と
同一条件の放電点火電圧を印加した場合である。
なお、上記実施例の2電極点火材200では高圧電
極22には突起高 $h_2 = 1$ mmで、直径1mmの白金圓
柱を用いてはいるが、オ1図(a)、(b)に示
した従来の接地電極1には厚さ1.3mm、幅2.7mm、
長さ約5mmの耐熱ニッケル合金をそのまま用い、
燃電極を突出させていない。曲線Wはオ2図(a)
(c)に示したような接地電極板の長さ方向にU字

図(b)およびオ3図(c)に示すような位置に円柱
電極が突起している。高圧電極22には同じく直径
1mmの白金円柱を用い、突起高 h_2 は1mm一定と
した。オ11図において、曲線Aは接地電極21の突
起高 h_1 が $h_1 = 0$ mm、曲線Bは同じく $h_1 = 0.07$
mm、曲線Cは同じく $h_1 = 0.14$ mm、曲線Dは同じ
く $h_1 = 0.25$ mm、曲線Eは同じく $h_1 = 0.5$ mm、曲
線Fは同じく $h_1 = 2.0$ mmの場合の点火限界空燃比
—電極間距離曲線をそれぞれあらわす。接地電極21
の突起高 h_1 を増大させるときに点火可能領域が広
大することが明らかである。

オ12図はオ11図に示した実験結果を電極間距離L
をパラメータとし、接地電極21の突起高 h_1 を横
軸にとつてグラフに直したものである。この図
で、曲線Mは電極間距離 $L = 0.85$ mm、曲線N
は同じく $L = 0.9$ mm、曲線Oは同じく $L = 1.0$ mm、
曲線Pは同じく $L = 1.25$ mm、曲線Qは同じく L
= 1.5 mm、曲線Rは同じく $L = 2.0$ mmの場合の点
火限界空燃比—接地電極突起高曲線をそれぞれ表
わす。いずれの電極間距離においても接地電極21の

突起を形成した従来の燃電極点火性の上記とオ1—
オ12の放電点火電圧を印加した場合の特性を示す。
水平点線 X_1 は混合空燃比レベル、水平点線 X_2
は稀燃限界空燃比レベル、水平点線 X_3 はインプ
タン空燃比=20(ガソリン空燃比=17.8)のレベ
ルを示す。垂直点線 Y_1 は曲線Uと水平点線 X_1
との交点を通る垂線、垂直点線 Y_2 は曲線Uと水
平点線 X_2 との交点を通る垂線を示す。高圧電極
22、接地電極21の両方を燃電極とし、かつそれぞ
れの電極支持部材23、24から突起高 h_1 、 h_2 突起
させるとき、混合空燃比以上の点火可能領域およ
び点火下限界電極間距離が大幅に拡大されることが
曲線Uから一目瞭然である。

オ11図はオ3図(a)~(c)に示したこの発明の
2電極点火材200の接地電極21に用いた直径1mm
の白金円柱の電極支持部材23からの突起高 h_1 を
パラメータとしたときの1気圧のインプタン—空
燃比混合気についての点火限界空燃比領域の電極間
距離依存の実験結果を示す。電極支持部材23は厚さ
1.3mm、幅2.7mm、長さ約5mmの形状であつてオ3

突起高 h_1 が約0.25mmまでは、突起高 h_1 の増大
と共に点火限界空燃比が急激に増大するが、突起
高 h_1 が約0.25mm以上では突起高 h_1 の増大にと
もなう点火限界空燃比の増大はきわめてゆるやか
であることがわかる。

上述したような点火限界空燃比の電極間距離、電
極高さ、および電極支持部材からの電極突起高依
存の作用機構を以下に説明する。

放電により混合気が電気火花のごく周辺で局所
的に燃焼して火だねができるが、放電は短時間に
終息してしまう。放電終息後は火だね自身がもつ
熱力学的量すなわち、エンタルピー、密度および
圧力の消滅によって以後の燃焼が決定される。火
だねを中心に燃焼域が広がるためには、火だねは
周辺の混合気に自己の熱力学的量を与えなければ
ならない。このとき、火だねの熱力学的量は消費
される。混合気を与えられた熱力学的量が混合気
の燃焼限界以下であるとき、火だねは立消えし、
燃焼限界以上であるとき混合気は燃焼し、燃焼混
合気ははじめに与えられた熱力学的量より大きい

熱力学的量を新たに発生させるので、火だねは成長する。火だねが単位体積だけ拡大成長するとき新しい混合気の燃焼によって発生する熱力学的量は、単位体積中の燃料の量、すなわち、燃料密度に依存する。燃料密度は空燃比が小なる程、また、圧縮比が大なる程大きい。従って、火だね内の熱力学的量の散逸が一定のときは空燃比が小さく、圧縮比が大なるとき点火燃焼の持続条件は有利となる。また、火だね内の熱力学的量の散逸を小さくすれば、点火燃焼の持続条件に適する空燃比は大きく、圧縮比は小さくすることができる。さらに言うならば、火だね内の熱力学的量の散逸過程の中、可燃性混合気以外への散逸を小さくすることが決定的に重要である。

いま、電極間隙の伸長、電極太さの減少、および電極支持部材からの電極突起高の増大に伴って点火限界空燃比が増大することを説明するのであるから、火だね内の熱力学的量の散逸過程の電極間隙、電極太さ、電極突起高依存について説明すればよい。

境界層の厚さは次式で与えられる。

$$\delta \sim \sqrt{\frac{\nu x}{u_0}} \quad \dots \dots \dots (1)$$

ここで x は流れにそった固体壁の長さであって、その平均値はここでは円柱電極の断面の半径と同程度と考えることができる。火だね直径を約600 μ とすると火だねの運動粘性率 $\nu \sim 0.26 \text{ cm}^2/\text{s}$ とみなせる。ブレン-空気の火炎速度は $u_0 \sim 20 \text{ cm/s}$ とみなせるから境界層の厚さは、

$$\delta \sim 0.11 \sqrt{x} \quad \dots \dots \dots (2)$$

で与えられる。

いま電極半径 $r_1 = 0.05 \text{ cm}$ について

$$\delta_1 \sim 0.023 \text{ cm} = 0.23 \text{ mm} \quad \dots \dots \dots (3)$$

大電極半径 $r_2 = 0.128 \text{ cm}$ について

$$\delta_2 \sim 0.039 \text{ cm} = 0.39 \text{ mm} \quad \dots \dots \dots (4)$$

が得られる。

これら境界層内の火炎の運動エネルギーおよび運動量は内部摩擦損失として失われる。いまもし電極間隙 $\delta_1 < \delta_2$ であるならば火だねの成長は出遅となる。この場合は混合気の空燃比が小さく

混合気体の燃焼は必ず気体の運動に伴う。すなわち燃焼の過程は単に化学的な現象あるいは単なる発熱現象ではなく、成体力学的および熱力学的現象でもある。換言すれば、火だね気体における成分分子の輸送(拡散)とエネルギーの輸送(熱伝導)の他に運動量の輸送(粘性摩擦)を総合的に考えなければならない。特に電気火花点火においては火だねに接する電極および電極支持部材の固体壁を通しての伝導的な損失よりも前記固体壁との粘性摩擦による気体の流体力学的減速損失を重視しなければならない。すなわち、火だね内の気体は火だね外の気体にくらべてその温度のみならず圧力も十分に大きい。この圧力差にもとづく気体の運動が生じる。この気体は運動粘性率 ν をもった粘性流体であるから固体壁に隣接した境界層の厚さ δ の薄い層内では固体壁に平行方向の気体の移動速度は急激に減少して固体壁ではゼロとなる境界層が存在する。この境界層の外では、摩擦のない運動に対応したポテンシャル流による速度 u_0 の気体の流れ(沖合主流)が実現される。

火だねの熱力学的量の密度が高くととも火だねは立消えせざるを得ないので、 2δ が消火距離を与えることになる。すなわち、消火距離はオ10図において点火限界空燃比-電極間隙曲線が空燃比に依存しない領域つまり曲線がほぼ垂直になる電極間隙に等しい。

オ10図における曲線Uは $r_1 = 0.05 \text{ cm}$ の細電極を高圧電極22として与えられた測定値であって、消火距離の実値は 0.5 mm である。これはオ(3)式を用いれば $2\delta_1$ に等しい。オ10図における曲線Vは $r_2 = 0.128 \text{ cm}$ の大電極により与えられたものであって、消火距離の実値は 0.8 mm である。これはオ(4)式を用いれば $2\delta_2$ に等しい。

オ10図における曲線Wは $r_1 = 0.05 \text{ cm}$ の細電極を高圧電極2とし長さ 5 mm の板状の電極を板状電極1としたときのオ1図(a)、(b)に示すタイプでの測定値である。板電極に関してオ(2)式の r を長さの $1/2$ として $r_1 = 0.25 \text{ cm}$ とおくと、 $\delta_1 = 0.055 \text{ cm}$ が得られる。消火距離として $\delta_1 + \delta_2 \sim 0.08 \text{ cm} = 0.8 \text{ mm}$ が算出され、実値と一致す

る。このことは板状の接地電極 1 は点火火口として極めて有害であって、中心電極のみを細電極としてもその効果は大幅に低減せしめられることを示している。この点、オ 10 図中の曲線 W は曲線 W の点火時の板状の接地電極 1 に U 字溝 1' を設けることによつて、板状の接地電極 1 による火だねの立消え効果がある程度軽減できることを示している。これは従来の接地電極を凹ませただけ火だねから電極部が遠ざかり、電極部による火だねの熱の伝導的な吸収が減少するためとされている。電極間隔 L を拡大しないで、火だねの燃焼空間を U 字溝 1' によつて拡大したものであるから、火だね成長の有効空間長 L_{eff} (オ 8 式参照) が大となり、曲線 W は左方に移動したものと考えられる。しかしながら、接地電極 1 に設けた U 字溝 1' は火だね空間を非対称化し、流体力学的に好ましくない凹凸を形成する。このため火だねが成長する過程で乱流を引き起こす。乱流の熱伝導度、粘性および拡散係数は層流にくらべて桁違いに大きいから、火だねの熱力学的量の電極部損失は格段に増大す

るので点火限界空間比は減少する。オ 10 図の電極間隔 L の大なる領域 ($L > 0.7 \text{ mm}$) で、この発明の点火時の点火限界空間比曲線 W に比して U 字溝付接地電極をもつ従来の点火時の点火限界空間比曲線 W' が下方へ寄るのはこのためである。

しかしながら、板状の接地電極 1 を突起電極としたこの発明の接地電極 21 を用いるとき、火だねの成長抑制効果は大幅に排除される。この突起電極の面積効果は上述した通りであつて、突起電極が細い程火だねの成長抑制効果は低減せしめられる。しかし、突起電極を設けたことによつて火だね空間の幾何学的形状に成長が存在することによるマイナスのプロセスも発生する。すなわち電極間隔 L の突起電極間空間で発生した火だねの気体の流れが突起電極間の狭い空間から突起電極外の広い空間に拡がるとき、火だね気体の運動の向きに増加する圧力差が生じ火だねの拡大の流れを妨げる作用が発生する。この作用は境界層の中の気体に対しても作用を及ぼす。その結果、突起電極の電極支持部材表面に形成される境界層に拘し、

オ 11 式の u_0 の実効値は大幅に減少するので、電極支持部材表面につくられる境界層の厚さ δ_1 は突起電極表面に形成される境界層 (例えば δ_2) にくらべてかなり大きい。そのため突起電極の突起高さ h_1 に拘し、

$$h_1 + \delta_1 \geq \delta_2 \quad \text{..... (5)}$$

では電極を突起させたことによる乱流の影響が少なくとも粘性摩擦損失に拘しては無視でき突起電極単体の効果のみが見るので、オ 12 図に示すように点火限界空間比は突起高に拘してはほぼ無知する。すなわち、

$$h_1 + \delta_1 < \delta_2 \quad \text{..... (6)}$$

の条件の突起高においては、突起電極間の空間内で成長した火だねが電極間空間に拡がるとき境界層に起因する狭い境界層のために低減せしめられる効果が存在するのでオ 12 図に示すように点火限界空間比は突起高 h_1 に依存する。

オ 12 図に示す実験結果は、

$$h_1 + \delta_1 = \delta_2 \quad \text{..... (7)}$$

の境界条件における接地電極 21 の突起高は $h_1 =$

0.25 mm であることを示しており、その結果、オ 13 式を参照して $\delta_2 = 0.5 \text{ mm}$ が得られる。この δ_2 の値はオ 3 図 (b) およびオ 3 図 (c) に示すように幅 2.7 mm、長さ約 5 mm の板状の電極支持部材 23 に図示の位置に直径 1 mm の円柱状突起電極を付し接地電極 21 としたときに得られるものである。電極支持部材 23 の側が更に小さいかあるいは突起電極が電極支持部材 23 の先端に付されているときは $\delta_2 < 0.5 \text{ mm}$ となる。オ 4 図 (a)、(b) およびオ 5 図 (a)、(b) はこれに相当する。いずれにせよ突起高 h_1 が 0.25 mm 以上であれば突起電極を設けたことによるデメリット要因は完全に排除されデメリット要因のみが残ることが明らかである。また、前述するように電極間の内流速度においては境界層の厚さは上記 1 気圧非圧縮混合気におけるよりも小さいので、突起高 h_1 は約 0.1 mm 以上であればよい。ただし加工精度や使用中における損耗を考慮すれば約 0.25 mm 以上であることが望し

い。
以上は電極間隔 L が狭く消火距離に近い条件下
から述べた。

の火だねについて主として説明してきたが $L_{eff} > 2\delta$ のときには、

$$L_{eff} = L - 2\delta \quad \dots\dots\dots (8)$$

に等しい厚さの厚膜のないポテンシャル流の領域（沖合主流）が生じる。いま式(8)の条件は成立しているものとしている。壁にかこまれた空間での流体が定常流であるときはポアズイユの式に従いそのときは壁から十分離れた場所においても沖合主流は生じない。しかし火だねの成長に伴う気体の流れは定常流ではないので沖合主流が生じる。この沖合主流域が火だねの成長に対する有効空間長である。式(8)はこの有効空間長 L_{eff} の拡大は電極間隔 δ を大きくすることと境界層の厚さ δ を小さくすることによって達成されることを示している。電極間隔 δ を大きくすることには放電限界間隔上の制約があり、境界層の厚さ δ を小さくするために電極半径 r を小さくすることは電極材料の耐蝕上の制約があった。しかし現今いずれの制約も無いものではなくなっている。トランジスタイグナイタにより放電限界間隔は拡大され、貴金

次第に低下し火だねは成長し易くなり点火限界空間比は次第に増大する。しかし火だねの熱力学的量の損失は固体壁損失以外に火だねの成長プロセス自身にも含まれている。すなわち、電極間隔 δ の小さな領域では、主に粘性抵抗のため電極壁に近づくほど火だねの膨張速度は小さくなり、火だねは球形に近くなる。球形火だね内の熱力学的量の火だね成長に伴う未燃焼気相への放電は火だね半径 r の2乗に逆比例して増大する。電極間隔 δ をさらに増大させるならば火だねは円柱形となり、円柱形火だねの熱力学的量の未燃焼気相への火だね成長における放電は円柱の半径に逆比例する。すなわち、火だねの半径の増大に伴う熱力学的量の放電は球形火だねより少なくてすむ。そのための点火限界空間比は次第に上昇する。火だねが円柱形に達したときは両端の電極壁の割合は減少し点火限界空間比—電極間隔曲線は飽和傾向を示すようになる。Fig. 10に示す曲線はいずれも電極間隔 δ の増大に伴って火だね形状が扁平（曲線の垂直領域）から球形を経て円柱状（曲線の水平領域）

特開 昭52-36237, 7.
合金からなる電極より耐蝕性は改善されている。従って両者の方法で有効空間長 L_{eff} を拡大することができる。この有効空間長 L_{eff} が拡大されると電気火花放電でつくられる初期火だねの熱力学的量の固体壁による損失割合が減少するので点火限界空間比は増大する。すなわち点火限界空間比は有効空間長 L_{eff} と対応関係をもつ。有効空間長 L_{eff} は式(8)式で与えられるので 0.25 mm 以上の突起高 h_1 をもつ電極の半径を小さくして境界層の厚さ δ を減少させることは同一の点火限界空間比を与える上で電極間隔 δ の減少と等価である。すなわち、Fig. 10において太電極に対する点火限界空間比曲線 V はこれを細電極とすると $\delta L = 2(\delta_1 - \delta_2) = 2(0.39 - 0.25) = 0.28 \text{ mm}$ だけ左方へ移動して点火限界空間比曲線 U にはば重なることとなる。このように電極半径 r の効果は電極間隔 δ に等価変換されるので以下の説明では電極間隔 δ の効果のみについて詳述する。

火だね成長の有効空間長 L_{eff} が 2δ 以上で電極間隔 δ が大きくなるに従って固体壁損失の割合は

への移行および電極壁損失の相対的低下に対応して増大する点火限界空間比をあらわしている。

これまでは1気圧の非圧縮混合気についての実験結果をもとにして述べてきたが、通常内燃機関は圧縮混合気を用いる。

圧縮比が増すに従って点火限界空間比が上昇し点火限界電極間隔が減少する作用は次のように説明される。

(I) 断熱圧縮された混合気の全体の熱力学的量の増大のため、火だね内から未燃焼気相へ供給されるべき火だねの成長に必要な熱力学的量が軽減される。

(II) 断熱圧縮された混合気の全体の熱力学的量の増大のため、火だねの内と外の熱力学的量の差が減少するので、火だね内の熱力学的量の放電が減少する。

(III) 混合気が圧縮されたとき、火だねの成長、すなわち、球形または円柱形の火だねの半径の増大による火だね内の熱力学的量の減衰が、上記(I)および(II)の過程のため弱められるのに対し、混合気

が圧縮されているときは電極半径の拡大によって新たに発生付加される熱力学的量は大きくなる。これは圧縮されているときは、混合気の体積膨張率が大きいのであって、混合気が濃い、すなわち空燃比が小さいことと等価である。

(III) 内燃機関の点火運転の初期を除いて先行する点火燃焼のため点火電極の温度は $400^{\circ}\sim 800^{\circ}$ 程度に上昇しているため電極電圧による直接的な熱損失は少なくすむ。

(IV) 断熱仕込まれた混合気が突起電極またはその電極支持部材の表面に形成する境界層の厚さは高温になるほど減少する(ポアッソンの断熱方程式をオ(II)式に用いれば絶対温度に反比例する)。運転時の内燃機関における火だね周囲に燃するものは前述した1気圧昇圧時のものの約 $1/2\sim 1/3$ 程度になる。

以上を要約するならば、点火性電極の形状に關係なく混合気が圧縮されると、火だねの成長に伴う熱力学的損失が減り利得が増し同時に火だね成長の有効電極間隔が増すことになる。従って、

減電

ブタン空燃比=20、ガソリン空燃比=17.8のレベルを示す)との交点に対応する電極間隔は $L=1.59$ mm である。すなわち、高圧電極22および接地電極21と共に電極支持部材23、24から0.25 mm以上突起せしめると同時に直径1 mmの細電極とした点火性、その電極間隔が $L=0.62$ mm のとき電極空燃比の混合気を用いた内燃機関を有効に点火運転することができ、 $L=1.59$ mm のとき空燃比=20のイソブタン混合気または空燃比=17.8のガソリン混合気を用いた内燃機関を有効に点火運転することができる。

市販の高出力イグニッションコイルを市販のセイトンエンジン機関で作動させ発生した15 kVの突起電圧パルスによる高圧昇圧混合気中での電極間隔は2 mmであるから上記のような高圧混合気内燃機関の電気火花点火による運転は容易である。いすゞ自動車株式会社製のいすゞ117ターボX型ガソリンエンジン(型式G1808K、水冷、4サイクル、直上昇半々軸式、圧縮比8.7、総排気量=1817 CC、1973年式、走行距離約3

点火燃焼空燃比—電極間隔曲線は運転時の内燃機関においては1気圧昇圧時のオ10図に示す曲線よりも左および上方に移動する。

しかしながら実際の内燃機関を運転条件Fで決定された点火燃焼空燃比—電極間隔曲線上の条件で使用することはできない。この曲線よりも十分F右方の安全領域を利用しなければならない。オ10図における曲線Wは従来の点火性を1気圧昇圧燃焼混合気に用いて得た点火燃焼空燃比—電極間隔曲線であって、消火距離は0.83 mmとなっている。しかるにこの点火性は実際の内燃機関の仕様に応じて0.3~0.8 mmで使用することができるのである。従ってオ10図に示す1気圧昇圧燃焼混合気について得られた点火燃焼空燃比—電極間隔曲線は実際の内燃機関では十分な安定点火燃焼内にあるので、この曲線を動作基準曲線とみなすことは合理的である。

オ10図において曲線Uと直線 X_1 (量論空燃比レベル)との交点に対応する電極間隔は $L=0.62$ mm である。また、曲線Uと直線 X_2 (イソ

万K_m)に關する実験において気化器アイドルスクリュ—調整のみで空燃比を十分大きくすることによってアイドリング時CO排出濃度が0.1%、HO排出濃度250 ppmの状態を実現することができた。この条件下での通常走行における運転性能および燃費性能には何の不都合も生じていない。

少なくともロータリエンジンでは空燃比が量論比に近ければ特別に稀薄混合気を用いなくとも排気条件は大幅に改善される。

一方、内燃機関の通常の点火電極を用いるときは点火性の電極間隔は0.8 mm以下であることが望ましい。電極間隔が $L=0.6$ mm のとき、上述の点火性動作基準曲線が量論空燃比直線 X_1 と交わるような点火性の電極直径は1.7 mmとなることが、実験および計算から求められた。もちろんこの電極は電極支持部材23、24からそれぞれ0.25 mm以上突起したものについてである。すなわち、高圧電極22および接地電極21が共に、1.7 mm以下の直径であると同時にその電極支持部材23、24から0.25 mm以上突起している点火性を用いるならば、

通常の点火電極を用いて燃焼空間に以上の両方混合気と内燃機関を燃焼せしめることができる。従ってこの発明において細電極とは直径が1.7mm以下のものとし、太電極とは直径が1.7mmより大なるものとする限界を設定することができる。

点火限界空間比を大ならしめるためには、点火性の高き電極および接地電極を共に細くしめると同時に細電極とすることが有効であるが、一方、さらに電極間隔を長くすることも有効である。点火パルスの尖頭値を一定のまま、放電限界間隔を大ならしめるために3電極点火性を用いることができる。すなわち、同一の点火パルスを用いるとき3電極点火性の放電限界主電極間隔は2電極点火性の放電限界間隔の1.78倍に拡大される。このような3電極点火性の火だね成長のための有効空間長を大ならしめるべく、高圧電極32、トリガ電極33および接地電極31をすべて細電極とし、かつこれらすべての電極をそれぞれの電極支持部材34、35、36から突起させた9図(a)、(b)に示すような3電極点火性300を用いるならば、2

特開昭52-36237(9)
電極点火性300について上述したのと同様により燃焼空間の減少、点火限界空間比の増大が認められた。

従来、両方混合気に点火するために実行されている努力の一つは放電エネルギーを増大させることである。しかし、放電エネルギーを増大させてもそのエネルギーから生ずる火だねの熱力学的量の大部分を電極損耗として消費せしめている点火機構を改善せぬ限り大きな効果は望めない。そのみか放電エネルギーを限界以上に大ならしめるとき、火だね周囲の流体構造は直線となり、その熱伝導度、粘性、および拡散係数は漸進的に増大し火だねの熱力学的量の電極損耗は格段に増大するので、即ち点火条件は悪化せしめられる。さらに、放電エネルギーの増大は電極間の電圧を加通して点火性寿命を短くする。

また、従来の可燃性混合気の電気火花点火に関する理論的考察には火だねの流体力学的アプローチが殆んどなされていない。例えば、点火限界間隔は放電エネルギーと電極間隔への直線的な熱

伝導損失および燃焼活性物質の電極間への拡散損失過程等によって決まるといふ推測の域を出ていない。この発明は火だねの成長過程を単なるエネルギー収支に限定せず、火だね流体の熱力学的量すなわちエンタルピー（熱エネルギーと仕事の和）および圧力、密度の空間分布にもとづく流体力学的現象を理論的実験的に考察することによって点火条件（点火下限界電極間隔および点火限界空間比）を大幅に拡大する点火機構を見出したものである。

また、従来の細電極点火性は放電電極の熱損失のみを考慮（高圧電極）のみを細電極とするにとどまっている。この発明は火だねおよびその成長には電気的断性がなく、熱力学的および流体力学的過程が支配的な影響を及ぼすことに着目し、すべての電極を細電極としさらにそれを電極支持部材から突起せしめることにより構造の特性改善を実現したものである。

この発明による点火性の改善の内燃機関への適用はきわめて簡単であり、いわゆるレンジアップ

ロータリ型、あるいは気化燃料気式、燃料噴射式等の各種のものに適用できる。

特に燃焼室が扁平でかつ移動するロータリエンジンでは混合気の燃焼の分布ができる。相対的に狭い領域の混合気が従来の電気火花で点火されるためには、相対的に狭い領域の混合気の絶対燃焼は極めて高くなるのでロータリエンジンの燃焼室の全体の平均の空燃比は非常に小さいものとなり、H₂OおよびCOの排出が大で燃料消費率が高くなる。このようなロータリエンジンあるいは類々の方法で人為的に混合気の燃焼を生ぜしめる燃焼エンジンにおいて、一つの燃焼室に3個以上の点火性を設ける必要のある場合にもこの発明の点火性を使用することが容易であり、狭い混合気領域の点火燃焼を効率よく実現することができるので、H₂OおよびCOの排出減少と燃料消費率の低減をはかることができる。

ガソリン等液体燃料を使用する内燃機関の温度が低い始動時には、燃料の蒸発化率が低く、また電極温度が低く点火しにくい場合があるが、この

発明による点火性は点火限界空燃比が大きいので、始動点火も容易となる。

以上詳細に説明したように、この発明は対向するすべての電極を銅電極にして、かつそれぞれの電極支持部材から突出せしめた2電極もしくは3電極点火栓を内燃機関に用い、さらに空燃混合比よりも濃い混合気を形成させる燃料供給装置を具備するだけでH₂O、COおよびNO_xの排出量の少ないいわゆる低公害エンジンを實現できる。従って内燃機関の構造および作動が簡単であるから、排ガス特性と運転性能および燃費性能とを調和させる技術およびそのような条件を満足する内燃機関の設計技術および品質管理技術の確立が容易である。また、使用過程中のエンジンの低公害化も容易である。

かように点火のメカニズムを追究した結果にもとづくこの発明の点火栓を内燃機関へ適用するならば、凡そ無難な解決が要求されている排気ガスの問題を低コストで解決することができ、その技術的、社会的意義はきわめて大きいものである。

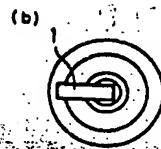
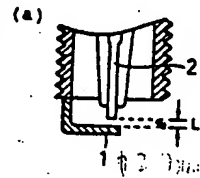
4 図面の簡単な説明

第1図(a)、(b)は従来の銅電極点火栓の一例を示す要部のみの縦断面図および底面図。第2図(a)~(c)は他の従来例を示すもので、第2図(a)、(c)は同じく要部のみを示すそれぞれの縦断面図、第2図(b)は第2図(a)の底面図。第3図(a)~(c)はこの発明の2電極点火栓の一実施例を示すもので、第3図(a)はその縦断面図、第3図(b)は第3図(a)の要部縦断面図、第3図(c)は同じく底面図。第4図(a)、(b)~第8図(a)、(b)はこの発明の他の実施例を示すもので、第4図(a)は要部の縦断面図、第4図(b)は第4図(a)の底面図、第5図(a)、(b)はこの発明の3電極点火栓の一実施例を示すもので、第5図(a)はその縦断面図、第5図(b)はその底面図。第6図、第7図はこの発明の点火栓と従来例との対比を示す点火限界空燃比領域の電極間距離依存性をそれぞれ示す特性図、第8図はこの発明の点火栓による点火限界空燃比の電極支持部材からの電極突出高依存性を示す特性図である。

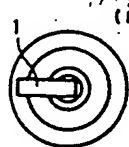
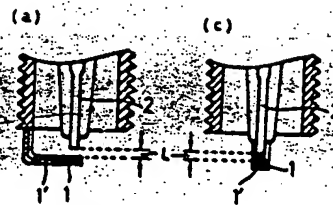
図中、21は接地電極、22は高压電極、23、24は電極支持部材、25は外筒、26は中軸、27は高压電極端子、28はガスケット、29はねじ、200は2電極点火栓、31は接地電極、32は高压電極、33はトリガ電極、300は3電極点火栓である。

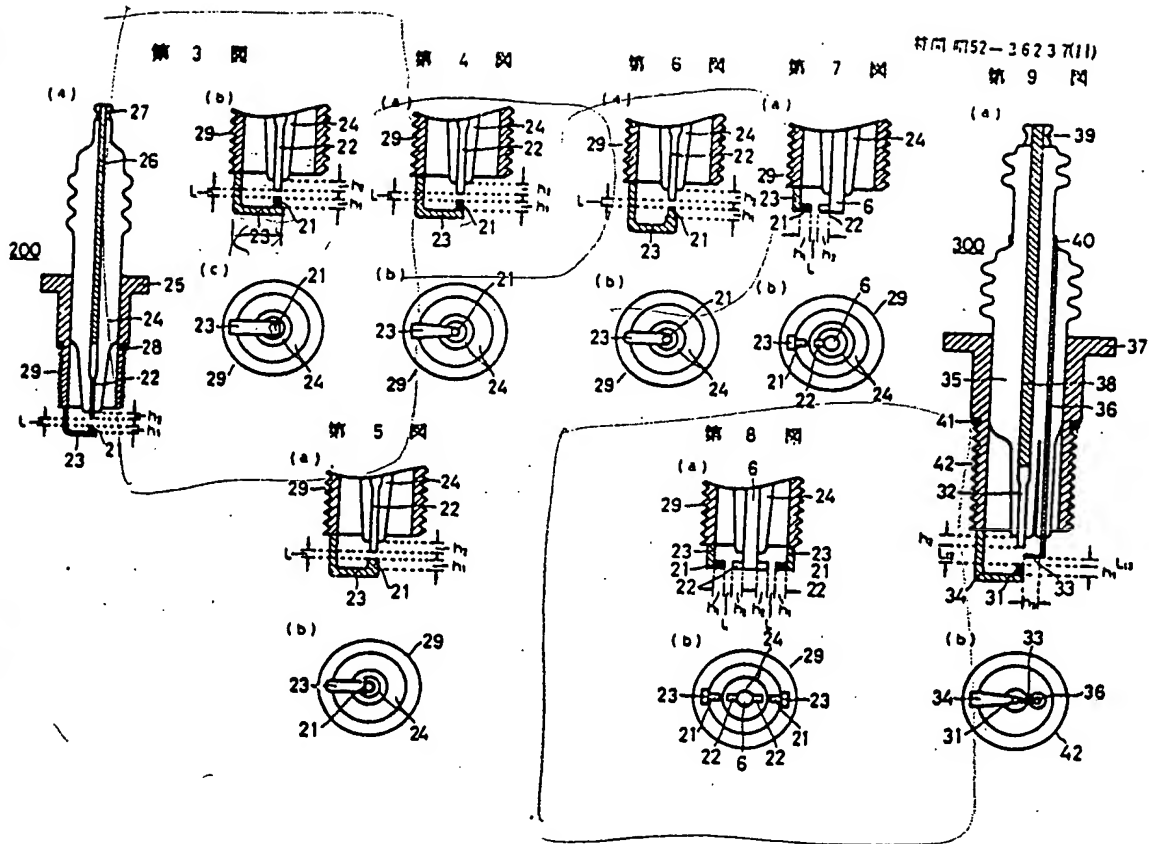
代理人 小林 裕 高

第 1 図

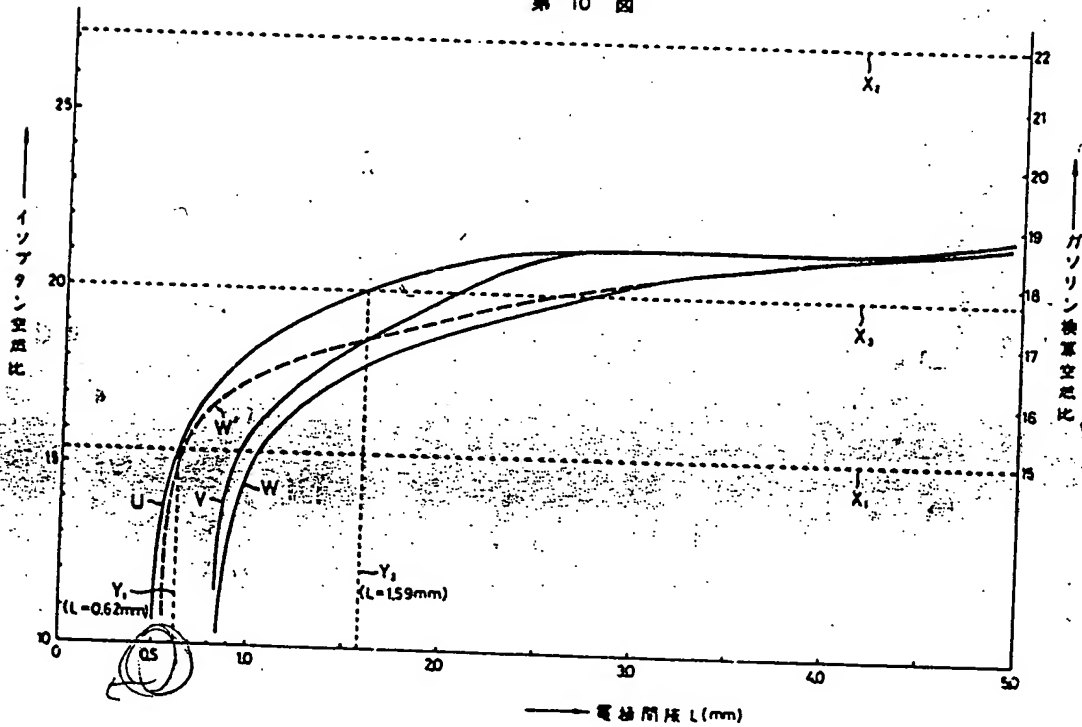


第 2 図

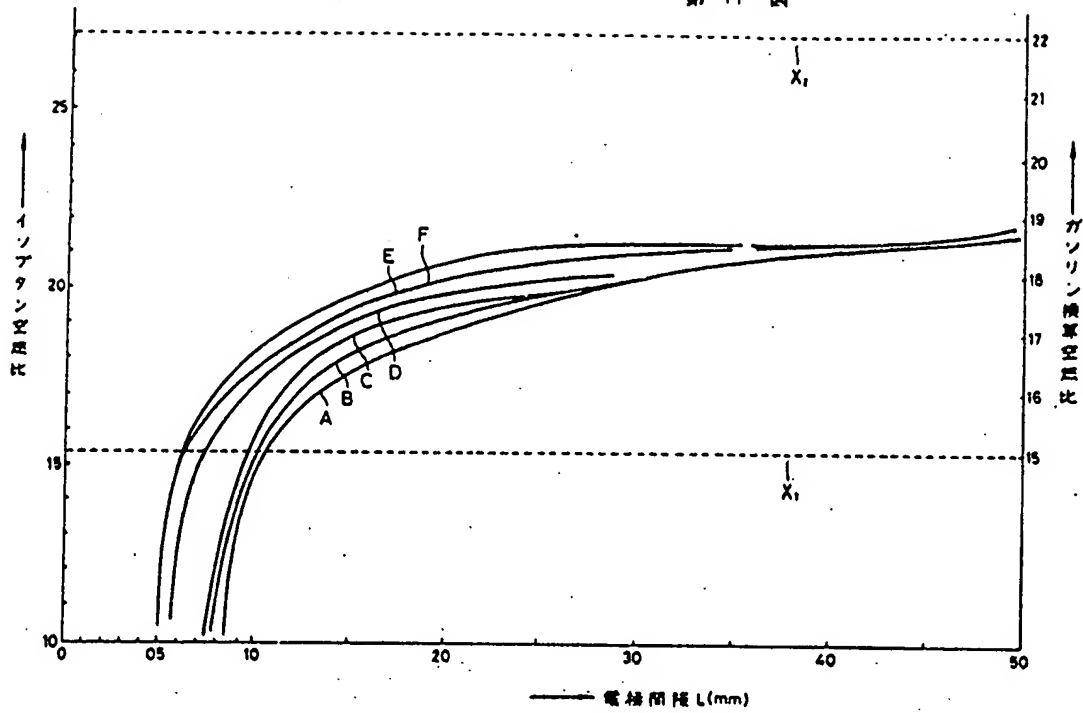




第10図



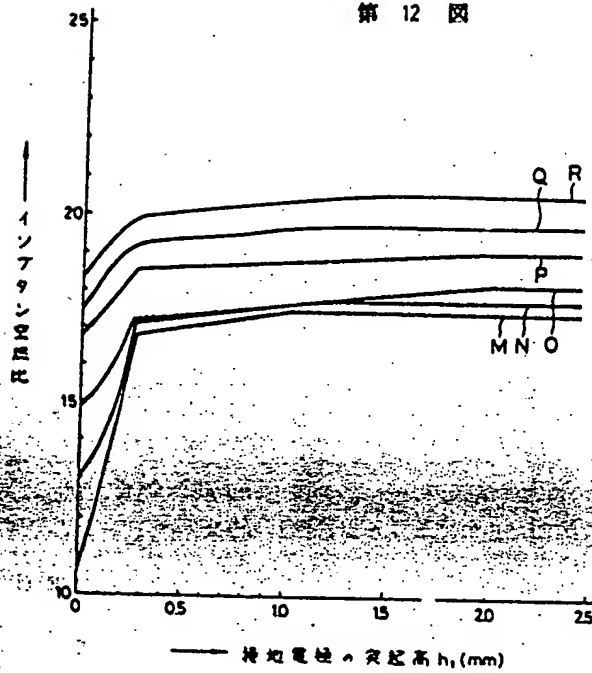
第 11 図



第 12 図

6. 前記以外の発明者

兵庫県足利市東園町6丁目116番地の4
宮田昌義



手続補正書 (日英)

昭和 51 年 12 月 15 日

特許庁長官殿

1. 事件の表示 特願第 50-110873 号

2. 発明の名称 自動車内燃機関用電気火花点火装置

3. 補正をする者

事件との関係 特許出願人

大阪府大阪市淀川区三津屋中 2 丁目 5 番 4 号 補正する。

新コスモス電機株式会社
代表者 笠原 理一郎

4. 代理人 〒101

東京都千代田区神田神保町 1 丁目 15 番 木下第 2 ビル 4 階
福田・小林特許事務所 電話 (291-9771 番)

(7171) 弁理士 小林 将 高

特願第 52-36237(13)

5. 補正の概要

明細書

発明の名称の欄、明細書の請求項の欄、
発明の詳細な説明の欄および図面

6. 補正の内容

(1) 明細書の第 1 頁 3 行の発明の名称を「自動車内燃機関用電気火花点火装置」と補正する。

(2) 同じく請求項の範囲を別紙のように補正する。

(3) 同じく第 1 頁 17~20 行の「この発明は、………するものである。」の箇所を下記のように補正する。

「この発明は、自動車用内燃機関の電気火花点火装置に関するものであり、電気火花点火装置を改良して電気火花放電による可燃性混合気の点火条件を拡大することによつて排ガス特性の優れた自動車用低公害内燃機関を容易に実現することを目的とするものである。」

(4) 同じく第 5 頁 4~5 行の「のであり、………である。」の箇所を下記のように補正する。
「のであり、これによつて自動車用低公害内燃機

関の実現を容易にせんとするものである。すなわち、この発明の点火装置を用い、アイドリング、エンシェンツレーキ、定速、加速および減速を含む運転モードにおいて、混合気の空気過剰率が $\phi = 1$ を満たす可燃混合気を形成させる混合気供給装置を具備せしめることによつて、HC、CO および NOx の排出量の少ない、いわゆる高燃費混合気燃焼型の自動車用低公害内燃機関を容易に実現することができる。」

(5) 同じく第 24 頁 19 行~第 26 頁 2 行の「大抵の場合、………をあらわしている。」の箇所を下記のように補正する。
「大抵の場合、燃焼室の燃焼圧力が、燃焼室の断面積が小さくなるにつれて、火花放電時に形成される初期火花後の体積が増大する。その結果、火花放電後の単位時間あたりの燃焼熱エネルギーが増大して火花放電からの単位時間あたりの放熱エネルギーを吸収しにくくなるため初期火花後、つまり火花放電後、より容易な燃焼過程でも火花が実現可能となる。従つて第 10 図に示

すように燃焼室内の燃焼圧力が、火花放電時燃焼比は次第に増大する。」

(6) 同じく第 26 頁 17~20 行の「(B) 混合気が………に引し、混合気」の箇所を「(B) 混合気」と訂正する。

(7) 同じく第 35 頁 7~8 行の「より高い………の排出量の」の箇所を下記のように補正する。
「よりも高い混合気を形成させる混合気供給装置を具備することによつて HC、CO および NOx の排出量の」

(8) 第 1 図を別紙のように補正する。

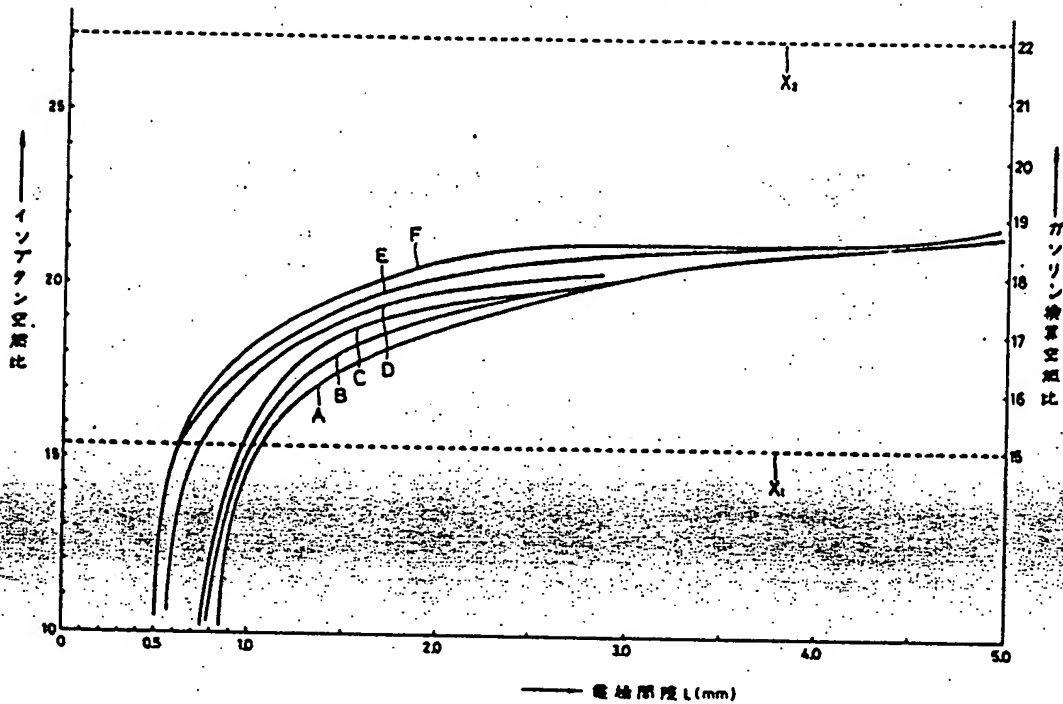
2 特許請求の範囲

(1) 高圧電極と接地電極をもつ2電極点火栓において、前記高圧電極および接地電極を共にそれぞれの電極支持部材から突起させ、かつ前記高圧電極および接地電極を共に細電極としたことを特徴とする自動車内燃機関用電気火花点火栓。

(2) 高圧電極、トリガ電極および接地電極をもつ3電極点火栓において、高圧電極、トリガ電極および接地電極をすべてそれぞれの電極支持部材から突起させ、かつ前記高圧電極、トリガ電極および接地電極をすべて細電極としたことを特徴とする自動車内燃機関用電気火花点火栓。

(13)

第 11 図



**This Page is Inserted by IFW Indexing and Scanning
Operations and is not part of the Official Record**

BEST AVAILABLE IMAGES

Defective images within this document are accurate representations of the original documents submitted by the applicant.

Defects in the images include but are not limited to the items checked:

- ☒ **BLACK BORDERS**
- ☐ **IMAGE CUT OFF AT TOP, BOTTOM OR SIDES**
- ☐ **FADED TEXT OR DRAWING**
- ☒ **BLURRED OR ILLEGIBLE TEXT OR DRAWING**
- ☐ **SKEWED/SLANTED IMAGES**
- ☐ **COLOR OR BLACK AND WHITE PHOTOGRAPHS**
- ☐ **GRAY SCALE DOCUMENTS**
- ☐ **LINES OR MARKS ON ORIGINAL DOCUMENT**
- ☒ **REFERENCE(S) OR EXHIBIT(S) SUBMITTED ARE POOR QUALITY**
- ☐ **OTHER: _____**

IMAGES ARE BEST AVAILABLE COPY.

As rescanning these documents will not correct the image problems checked, please do not report these problems to the IFW Image Problem Mailbox.